

Без такой предварительной обработки описываемые в статье эффекты не наблюдались.

На рис. 2 представлены спектральные зависимости фотооткликов структуры при двух напряженных смещениях (кривые а и б), а также их отношения (кривая в). Измерения проводились при модуляции светового потока с частотой 130 Гц. Из рисунка видно, что в области коротких длин волн смещение всего на 0.2 В приводит к двукратному изменению фотоотклика, тогда как в области длинных волн сигнал практически не меняется с напряжением. Полевая зависимость фотоотклика для света с длиной волны 0.4 мкм представлена кривой г, а ее производная по напряжению  $\partial I_{\phi} / \partial U$  - кривой д. Полуширина последней близка к величине  $4kT/q$ , что согласуется с описанной выше моделью.

Описанная структура может быть использована в колориметрических устройствах и анализаторах спектрального состава излучения благодаря высокой чувствительности к излучению и эффективности управления спектральной зависимостью фотоотклика напряжением.

Институт проблем  
материаловедения  
АН УССР  
Черновицкой отделение

Поступило в Редакцию  
21 июня 1989 г.

Письма в ЖТФ, том 15, вып. 18                    26 сентября 1989 г.  
07

## ЭФФЕКТ ОТОБРАЖЕНИЯ ГИЛЬБЕРТ-ОБРАЗА ПУЧКА ИЗЛУЧЕНИЯ В ИЗОБРАЖЕНИЯХ ФРЕНЕЛЯ ДИФРАКЦИОННОЙ СТРУКТУРЫ

Э.Н. Б а л а ш о в а, М.В. Н е о ф и т н ы й,  
В.А. С в и ч

Известно явление безлинзового отображения Фурье-образа пучка в зоне дифракции Френеля [1-5]. Однако реализовать безлинзовое преобразование Гильберта в указанной зоне дифракции до сих пор не удавалось. С другой стороны, в различных теневых приборах, устройствах распознавания образцов [6-8] существует необходимость данного преобразования.

В настоящей работе сообщается об эффекте наблюдения Гильберт-образа пучка излучения в изображениях Френеля как амплитудной, так и фазовой дифракционной структуры, состоящей из двух участков с различными значениями отношения поперечных размеров штрихов к периоду Т их расположения. Геометрия дифракционной структуры, у которой  $T, T - d \gg \lambda$ , где  $\lambda$  -

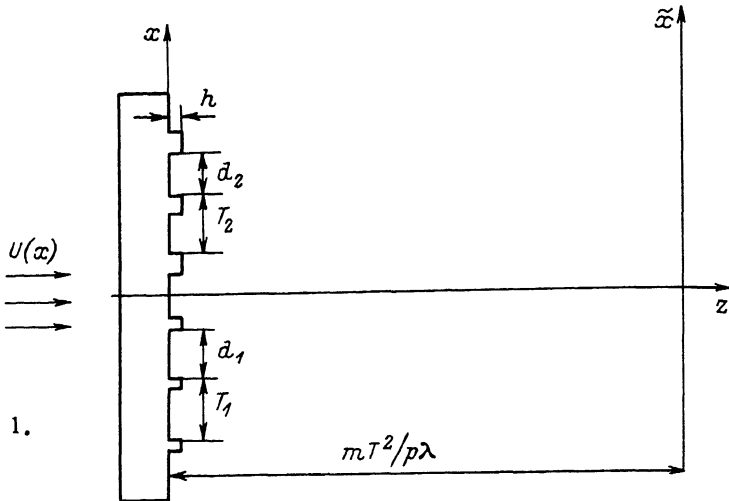


Рис. 1.

длина волны излучения, изображена на рис. 1. Данный эффект состоит в том, что Гильберт-образ пучка отображается в распределении интенсивности дифракционного поля в некотором дискретном множестве плоскостей наблюдения, определяемых следующим образом

$$z = \frac{mT^2}{p\lambda}, \quad (1)$$

где  $m, p = 1, 2, 3 \dots$ . Множество значений отношений попечных размеров штрихов к периоду их расположения является дискретным и удовлетворяет соотношениям

$$\frac{d_1}{T} = 1 - \frac{1}{2|q|}, \quad (2)$$

$$\frac{d_2}{T} = 1 - \frac{3}{2|q|}, \quad (3)$$

где  $|q| = 14, 15, 16, \dots, (14+K)$ ,  $K$  – целое, положительное число.

В случае выполнения (2), (3) поля, рассеянные двумя разнородными участками структуры при формировании нескольких, рядом расположенных дифракционных полос в плоскостях, согласно (1), имеют разность хода равную или близкую к  $\lambda/2$ . Указанный факт позволяет выделить знаковую функцию  $sgn(x)$  в выражении для комплексной амплитуды пропускания дифракционной структуры и тем самым выполнить необходимое условие осуществления преобразования Гильbertа.

На рис. 2 приведены численные результаты, позволяющие провести сравнение распределений интенсивности излучения в дифракционных полосах, образующихся на расстоянии от струк-

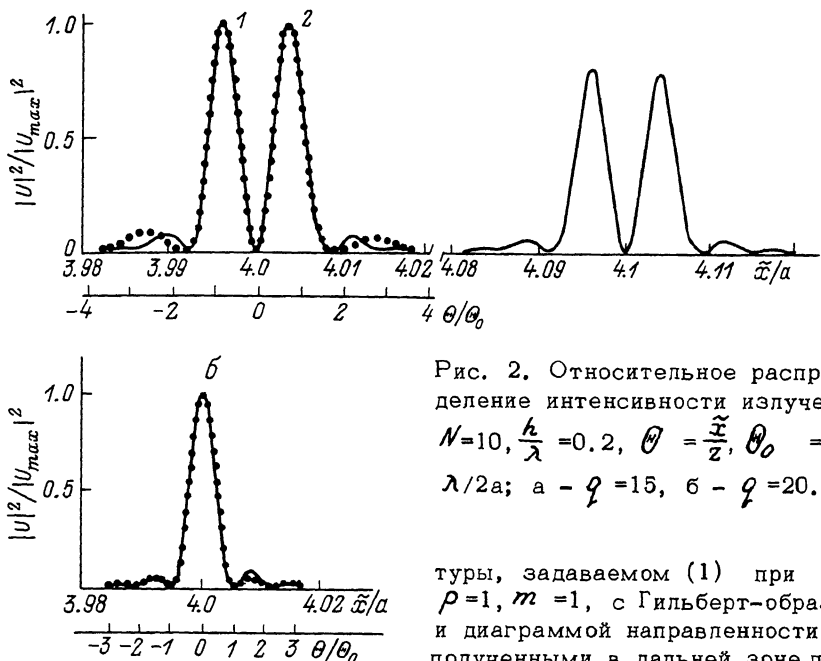


Рис. 2. Относительное распределение интенсивности излучения,  $N=10$ ,  $\frac{h}{\lambda}=0.2$ ,  $\Theta=\frac{\pi}{z}$ ,  $\theta_0=\lambda/2a$ ; а -  $q=15$ , б -  $q=20$ .

падении пучка с функцией амплитудного распределения вида

$$U(x) = \text{rect}_a(x), \quad (4)$$

где  $2a$  - характерный размер пучка, причем  $a=NT$ ,  $N$  - число периодов в пределах каждого из разнородных участков структуры. Расчеты выполнены с использованием дифракционного интервала Фурье-оптики. Сплошными кривыми показаны относительные распределения интенсивности в дифракционных полосах зоны Френеля. Точки на рис. 2, а соответствуют первому дифракционному порядку решетки со свободным периодом [6], выполняющей в дальней зоне преобразование Гильберта пучка вида  $\tilde{U}(\omega)$ , где знак узлока над функцией означает преобразование Фурье этой функции по частоте  $\omega$ , равной  $\frac{2\pi\tilde{x}}{\lambda z}$ . На рис. 2, б точками показана диаграмма направленности пучка (4) в дальней зоне при отсутствии дифракционной структуры. Для сравнения с соответствующими распределениями дальней зоны при дифракционных полосах зоны Френкеля приведена угловая координата  $\theta/\theta_0$ .

Из графика на рис. 2, а следует, что при  $|q|=15$  относительные угловые распределения интенсивности в ряде расположенных полос совпадают друг с другом и с распределением в изображении Гильберт-образа в дальней зоне. В плоскостях наблюдения, согласно (1), при  $\rho=1$  контрастные Гильберт-полосы расположены с периодом  $T$  и их число совпадает с числом

Гильберт-порядков в дальней зоне. Для различных  $\varphi$  ниже даны значения числа  $\zeta$  рядом расположенных Гильберт-полос, полученных при падении пучка (4):

$\varphi$	15	20	25	30	35	40	45	50
$\zeta$	7	9	11	13	15	17	19	21

Из этих данных следует, что при увеличении  $\varphi$  происходит увеличение числа Гильберт-полос. В плоскостях наблюдения, соответствующих  $\rho \neq 1$ , Гильберт-полосы располагаются с периодом  $T/p$  и происходит их мультилиплицирование с коэффициентом, равным  $p$ . Число наиболее контрастных Гильберт-полос зависит от уровня кривизны волнового фронта падающего пучка и может служить его мерой. Расчеты показали, что уменьшение числа наиболее контрастных Гильберт-полос на одну при  $p=1, m=1$  соответствует изменению уровня кривизны пучка на  $0.16\lambda$ .

Функции данного дифракционного элемента не ограничиваются описанным интегральным преобразованием Гильberta. Наряду с дифракционными полосами, которые образуются суперпозицией полей, сдвинутых на  $\lambda/2$ , в изображениях Френеля существуют полосы, полученные в результате синфазного сложения волн от обоих участников структуры. Последнее обстоятельство позволяет реализовать Фурье-образ падающего пучка. Пример отображения Фурье-образа пучка показан на рис. 2, б. Видно, что угловые распределения интенсивности в полосе Френкеля и диаграмме направленности пучка в дальней зоне совпадают. Установлено, что преобразование Гильберта производит операцию визуализации и оконтуривания Фурье-образа падающего пучка. Из рис. 2 следует, что на участках кривой распределения Гильберт-образа, расположенных относительно максимумов 1 и 2 слева и справа соответственно, наблюдается отображение функции  $\hat{U}(\omega)$ .

Обнаруженный эффект отображения Гильберт-образа пучка позволяет упростить существующие схемы теневых приборов для диагностики фазовых объектов [6-8], совместив в одном дифракционном элементе функции фильтров Гильберта, Фурье и фокусирующего устройства. Исключение из данных схем традиционного фокусирующего устройства расширяет диапазон их применения в сторону больших размеров фазовых объектов и плотностей мощности зондирующих пучков излучения.

#### С п и с о к л и т е р а т у р ы

- [1] Епишин В.А., Неофитный М.В. // Квант. электрон. 1982. Т. 9. № 4. С. 718-725.
- [2] Епишин В.А., Неофитный М.В. В кн.: Импульсная фотометрия. Л.: Машиностроение, 1984. В. 8. С. 33-35.

- [3] Епишин В.А., Заславский В.Я., Неофитов М.В. // Труды НИЦТЛ АН СССР. 1986. с. 200-205.
- [4] Kolodziejczuk A. // Opt. Acta. 1985. V. 32. N 6. P. 741-746.
- [5] Смирнов А.П. // Опт. и спектр. 1987. Т. 62. В. 3. С. 636-643.
- [6] Сорокин Л.М. Гильберт-оптика. М.: Наука, 1981. 159 с.
- [7] Городецкая В.И., Кособурд Т.П., Маркус Ф.А. В сб.: Всесоюзн. конф. „Оптическое изображение и регистрирующие среды”, Тезисы докладов, Л. 1982, с. 78-79.
- [8] Arguzov V.A., Poleshuk A.G., Fedorov V.A. // Opt. and Quant. Electron. 1977. V. 9. N 6. P. 455-458.

Харьковский государственный  
университет им. А.М. Горького

Поступило в Редакцию  
6 июня 1989 г.

Письма в ЖТФ, том 15, вып. 18  
06.2; 12

26 сентября 1989 г.

### ФОРМИРОВАНИЕ Р-П ПЕРЕХОДОВ МЕТОДОМ ПРЯМОГО СРАЩИВАНИЯ КРЕМНИЕВЫХ ПЛАСТИН (ПСК)

В.М. Волле, В.Б. Воронков, И.В. Греков,  
В.А. Козлов

На сегодняшний день технология формирования кремниевых структур с р-п переходами располагает широким арсеналом сложнейших технологический процессов. Однако большинство из них может быть сведено к комбинациям нескольких базовых методов, которыми являются диффузия, эпитаксия, ионная имплантация. В научных публикациях последних лет сообщается о разработке еще одного нового технологического процесса [1-4], получившего в англоязычной литературе название *SDB*-метода (*silicon to silicon direct bonding method*), который может в ближайшее время по праву дополнить отмеченный ряд базовых способов формирования полупроводниковых структур на *Si*. Данный метод позволяет осуществить „низкотемпературное” прямое сращивание кремниевых пластин и открывает широкие возможности конструирования и изготовления кремниевых приборов. Сведения об электрических характеристиках р-п структур, изготовленных методом прямого сращивания кремния, и особенности технологического процесса представлены в имеющихся зарубежных публикациях весьма ограничено в связи с новизной метода, а отечественные публикации по этой тематике нам не известны. Учитывая важность данного метода для технологии производства кремниевых приборов, целью настоящей работы являлась раз-